

# Chapitre 2: Propagation d'une onde dans un milieu diélectrique

Richard Monier

Septembre 2019

## Abstract

Ces notes de cours reprennent les éléments du cours donné en Septembre 2019 à la préparation à l'agrégation à Montrouge. Cette partie traite de la propagation dans les diélectriques LHI.

---

## Contents

<b>1</b>	<b>Introduction</b>	<b>2</b>
<b>2</b>	<b>Propagation dans un milieu diélectrique</b>	<b>2</b>
2.1	Introduction . . . . .	2
2.2	Equations de Maxwell . . . . .	2
<b>3</b>	<b>Propagation d'ondes électromagnétiques dans un milieu diélectrique LHI</b>	<b>3</b>
3.1	Equation de propagation . . . . .	3
3.2	Relation de dispersion - Indice du milieu . . . . .	3
<b>4</b>	<b>Structure du champ électromagnétique</b>	<b>4</b>
<b>5</b>	<b>Polarisation, dispersion et absorption</b>	<b>4</b>
5.1	Modèle classique de la polarisation . . . . .	4
5.1.1	Le modèle de la charge élastiquement liée . . . . .	4
5.2	Propagation en régime sinusoïdal . . . . .	5
5.3	Polarisation totale du milieu . . . . .	7
5.4	Ordres de grandeurs de quelques pulsations caractéristiques . . . . .	7
5.5	Indice de réfraction et d'extinction . . . . .	8
5.6	Zones de transparence . . . . .	8
5.7	Zone d'absorption . . . . .	9
	<b>Bibliographie</b>	<b>9</b>

---

# 1 Introduction

## 2 Propagation dans un milieu diélectrique

### 2.1 Introduction

Placé dans un champ électrique, un milieu diélectrique se polarise. Le vecteur polarisation  $\vec{P}$  est défini comme par la quantité de moment dipolaire par unité de volume. des variations temporelles de la polarisation induisent des courants de polarisation représentés par:

$$\boxed{\rho_{pol} = -div \vec{P}} \text{ et } \boxed{\vec{j}_{pol} = \frac{\partial \vec{P}}{\partial t}}$$

Des phénomènes d'aimantation peuvent aussi se produire. Ils sont dus à la présence de dipôles magnétiques élémentaires, représentés à l'échelle macroscopique par l'aimantation,  $\vec{M}$ . A cette aimantation est associée une densité volumique de courant:

$$\vec{j}_m = rot \vec{M} \quad (1)$$

Ces charges et courants liés à des déplacements d'extension très limitée des charges sont appelés "charges et courants liés".

### 2.2 Equations de Maxwell

Les propriétés du champ électromagnétique sont contenues dans les équations de Maxwell. Les deux équations qui ne font pas intervenir les charges s'écrivent comme dans le vide:

$$div(\vec{B}) = 0 \quad (2)$$

et

$$rot \vec{E} = -\frac{\partial \vec{B}}{\partial t} \quad (3)$$

Pour les équations de Maxwell-Gauss et Maxwell-Ampère, il faut ajouter aux charges et courants libres, les charges et courants volumiques créés par la polarisation. On utilise le vecteur déplacement électrique  $\vec{D} = \epsilon_0 \vec{E} + \vec{P}$  et le vecteur excitation magnétique,  $\vec{H} = \frac{\vec{B}}{\mu_0} - \vec{M}$ . Avec ces deux vecteurs, on écrit deux nouvelles équations de Maxwell ne faisant apparaître que les charges et courants libres  $\rho$  et  $\vec{j}$ :

- Equation de Maxwell-Gauss (MG):  $div \vec{D} = \rho_l$
  - Equation de Maxwell-Ampère (MA):  $rot(\vec{H}) = \vec{j}_l + \frac{\partial \vec{D}}{\partial t}$
- auxquelles on ajoute les deux précédentes:
- Equation de Maxwell flux:  $div(\vec{B}) = 0$
  - Equation de Maxwell-Faraday  $rot \vec{E} = -\frac{\partial \vec{B}}{\partial t}$

Cette formulation des équations de Maxwell a comme principal avantage de faire apparaître explicitement les densités de charges et de courants libres,  $\rho_l$  et  $\vec{j}_l$  dont on connaît le comportement dans de nombreux matériaux. Cette avantage s'accompagne de l'introduction de deux nouveaux vecteurs,  $\vec{D}$  et  $\vec{H}$ , qui sont deux "inconnues" supplémentaires.

# 3 Propagation d'ondes électromagnétiques dans un milieu diélectrique LHI

## 3.1 Equation de propagation

Les équations de Maxwell dans un milieu LHI, **isolant et non chargé**, s'écrivent pour un champ sinusoïdal en notation complexe:

- $\text{div}(\vec{E}) = 0$
- $\text{div}(\vec{B}) = 0$
- $\text{rot}(\vec{E}) = -\frac{\partial \vec{B}}{\partial t}$
- $\text{rot}(\vec{B}) = \mu_0 \epsilon \frac{\partial \vec{E}}{\partial t}$

Par rapport au vide, on a remplacé  $\epsilon_0$  par  $\epsilon = \epsilon_0 \epsilon_r$ , la permittivité complexe du milieu LHI. On en déduit les équations de propagation:

$$\Delta \vec{E} - \frac{\epsilon_r}{c^2} \frac{\partial^2 \vec{E}}{\partial t^2} = \vec{0}$$

$$\Delta \vec{B} - \frac{\epsilon_r}{c^2} \frac{\partial^2 \vec{B}}{\partial t^2} = \vec{0}$$

## 3.2 Relation de dispersion - Indice du milieu

Pour une OPPM de pulsation  $\omega$  et de vecteur d'onde  $\vec{k}$ , l'équation de propagation conduit à la relation de dispersion:

$$k^2 = \epsilon_r \mu_0 \omega^2 = \epsilon_r \frac{\omega^2}{c^2}$$

Si on choisit la direction de propagation selon Ox, on a  $\vec{k} = k \vec{e}_x$

**Définition 3.1** (Indice du milieu). *On définit l'indice complexe  $n$  du milieu par la relation  $n^2 = \epsilon_r$*

ce qui amène à écrire les solutions de l'équation de dispersion sous la forme:

$$k = \pm n \frac{\omega}{c}$$

L'indice  $n$  est complexe et fonction de la pulsation de l'onde:  $n = n(\omega)$  ce qui entraîne des phénomènes d'absorption et de dispersion.

## 4 Structure du champ électromagnétique

Comme les équations sont équivalentes à celles du vide à condition de remplacer la permittivité  $\epsilon_0$  du vide par  $\epsilon$  celle du milieu LHI, on en déduit que la relation de structure:

$$\vec{B} = \frac{\vec{k} \wedge \vec{E}}{\omega} \quad (4)$$

$$= n \frac{\vec{n} \wedge \vec{E}}{\omega} \quad (5)$$

demeure valable. Les vecteurs  $\vec{E}$ ,  $\vec{B}$  et  $\vec{k}$  forment un trièdre direct. Comme  $\vec{k}$  est complexe,  $\vec{E}$  et  $\vec{B}$  ne sont pas en phase contrairement au cas du vide.

## 5 Polarisation, dispersion et absorption

### 5.1 Modèle classique de la polarisation

Pour exprimer la permittivité diélectrique du milieu, on propose à l'échelle microscopique un modèle classique de l'interaction du champ électromagnétique avec les charges (traitable rigoureusement en mécanique quantique).

#### 5.1.1 Le modèle de la charge élastiquement liée

Ce modèle est dû à Lorentz (1853-1928) pour rendre compte de la diffusion du rayonnement solaire par les molécules atmosphériques. Le vecteur  $\vec{E}$  de l'OPPM met en mouvement les charges liées du milieu où elle se propage. Si la réponse est linéaire, l'onde force les oscillations de ces charges à la pulsation  $\omega$ .

##### Hypothèses:

La charge liée de masse  $m$  et de charge  $q$  est soumise:

- à une force de rappel élastique proportionnelle à son déplacement à l'équilibre:  $\vec{f} = -k \vec{r}$
- à une force rendant compte des phénomènes de dissipation d'énergie (collision, rayonnement, ...) en introduisant un temps de relaxation  $\tau$ :  $\vec{f} = -\frac{m}{\tau} \vec{v}$
- à la force de Lorentz dans laquelle on négligera classiquement l'action du champ magnétique:  $\vec{f} = q \vec{E}$

Remarque: Le champ de l'onde est uniforme à l'échelle de la molécules si sa longueur d'onde est très supérieure aux dimensions des particules du milieu (typiquement  $1 \text{ \AA}$  pour un atome). L'équation du mouvement de la charge est donc:

$$m \ddot{\vec{r}} = -k \vec{r} - \frac{m}{\tau} \dot{\vec{r}} + q \vec{E} \quad (6)$$

soit

$$\ddot{\vec{r}} + \frac{k}{m} \vec{r} + \frac{1}{\tau} \dot{\vec{r}} = \frac{q}{m} \vec{E} \quad (7)$$

On utilise  $\omega_0 = \sqrt{\frac{k}{m}}$  la pulsation propre de cet oscillateur amorti et  $Q = \omega_0 \tau$  son facteur de qualité ce qui conduit à:

$$\ddot{\vec{r}} + \frac{\omega_0}{Q} \dot{\vec{r}} + \omega_0^2 \vec{r} = \frac{q}{m} \vec{E} \quad (8)$$

En régime sinusoïdal forcé, on a  $\vec{r} = \vec{r}_0 e^{j\omega t}$ , on arrive à:

$$\vec{r} = \frac{\frac{q}{m\omega_0^2}}{1 + \frac{j\omega}{Q\omega_0} - \frac{\omega^2}{\omega_0^2}} \vec{E} \quad (9)$$

## 5.2 Propagation en régime sinusoïdal

Au déplacement  $\vec{r}$  de la charge  $q$  est associé le moment dipolaire  $\vec{p} = q\vec{r}$ . On écrit donc:  $\boxed{\vec{p} = \alpha \vec{E}}$  où  $\alpha$  est appelé **la polarisabilité**. Si le milieu contient  $N$  charges liées identiques par unité de volume, le vecteur de polarisation est  $\vec{P} = N\vec{p} = \epsilon_0 \chi_e \vec{E}$  avec:

$$\chi_e = \frac{\chi_0}{1 + \frac{j\omega}{Q\omega_0} - \frac{\omega^2}{\omega_0^2}} \quad (10)$$

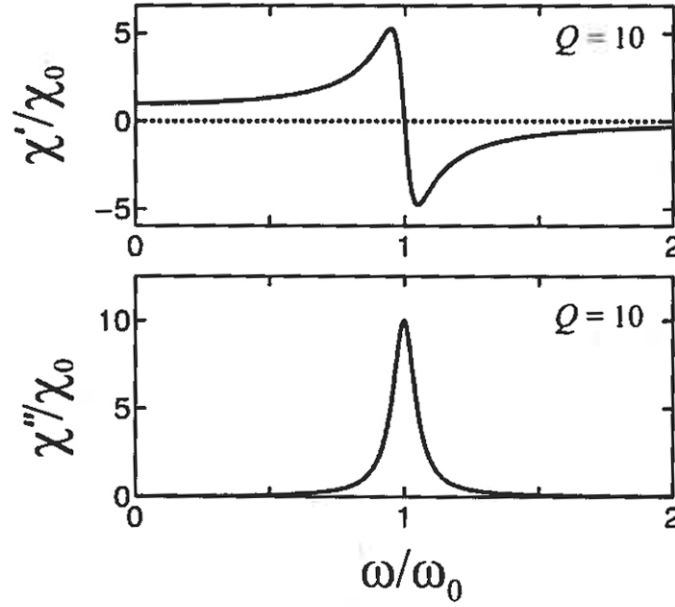
et  $\chi_0 = \frac{Nq^2}{m\epsilon_0\omega_0^2}$  est la susceptibilité statique ( $\omega = 0$ ). La susceptibilité  $\chi_e$  est complexe et peut s'écrire  $\chi_e = \chi_1 - j\chi_2$  avec:

$$\chi_1(\omega) = \frac{\chi_0(1 - \frac{\omega^2}{\omega_0^2})}{(1 - \frac{\omega^2}{\omega_0^2})^2 + (\frac{\omega}{Q\omega_0})^2} \quad (11)$$

$$\chi_2(\omega) = \frac{\chi_0(\frac{\omega}{Q\omega_0})}{(1 - \frac{\omega^2}{\omega_0^2})^2 + (\frac{\omega}{Q\omega_0})^2} \quad (12)$$

### Remarques:

- Dans  $\vec{p} = \alpha \vec{E}$ ,  $\vec{E}$  est le champ local microscopique vu par la particule polarisée par le champ.
- Dans  $\vec{P} = \epsilon_0 \chi_0 \vec{E}$ ,  $\vec{E}$  est le champ macroscopique. On admettra que le champ créé par les autres particules perturbe peu le champ appliqué à la matière. Ceci est vrai pour les milieux dilués.



**Figure 5.1– Variations de  $\chi$  au voisinage de la résonance  $\omega_0$ .**

Figure 1: Graphes de  $\frac{\chi_1}{\chi_0}$  et  $\frac{\chi_2}{\chi_0}$

$\chi_1$  s'annule pour  $\omega = \omega_0$  et  $\chi_2$  est maximale pour cette valeur.  $\chi_1$  atteint un maximum pour  $\omega_M \simeq \omega_0(1 - \frac{1}{2Q})$ , ce maximum est proche de  $\chi_{1M} \simeq \chi_0 \frac{Q}{2}$  et atteint un minimum pour  $\omega_m \simeq \omega_0(1 + \frac{1}{2Q})$ , ce minimum est proche de  $\chi_{1m} \simeq -\chi_0 \frac{Q}{2}$ .

La puissance moyenne dissipée au sein du milieu LHI s'écrit:

$$\langle \mathcal{P} \rangle = \frac{1}{2} \mathcal{R}[(\vec{j}_{pol} \cdot \vec{E}^*)] \quad (13)$$

$$= \frac{1}{2} \mathcal{R}[j\omega \vec{P} \cdot \vec{E}^*] \quad (14)$$

$$= \frac{1}{2} \mathcal{R}[j\omega \epsilon_0 \chi_e \vec{E} \cdot \vec{E}^*] \quad (15)$$

$$= \frac{1}{2} \omega \epsilon_0 \chi_2 (\vec{E} \cdot \vec{E}^*) \quad (16)$$

La dissipation d'énergie est donc liée à la partie imaginaire  $\chi_2 = -Im(\chi_e)$  de la susceptibilité complexe du milieu. On peut aussi calculer la puissance dissipée d'une autre manière en utilisant le terme dissipatif  $-\frac{m}{\tau} \vec{v}$ :

$$\langle \mathcal{P} \rangle = -N \frac{1}{2} \mathcal{R}(-\frac{m}{\tau} \vec{v} \cdot \vec{v}^*) \quad (17)$$

$$= \frac{Nm\omega_0}{2Q} |\frac{j\omega \vec{P}}{qN}|^2 \quad (18)$$

$$= \frac{1}{2} \epsilon_0 \omega^2 \frac{|\chi_2|^2}{Q\omega\chi_0} (\vec{E} \cdot \vec{E}^*) \quad (19)$$

Dans la zone  $\omega_0 \pm \frac{\Delta\omega}{2}$ ,  $\chi_2$  est importante et donc l'absorption d'énergie électromagnétique dans le milieu l'est aussi. En dehors de cette zone,  $\chi_2$  est très faible et le milieu est transparent.

### 5.3 Polarisation totale du milieu

Le milieu contient à priori plusieurs types de charges liées susceptibles de se déplacer sous l'action du champ  $\vec{E}$  de l'onde électromagnétique:

- les électrons des atomes et molécules
- les noyaux
- les ions (cas de solides ioniques)

Toutes ces charges liées différentes ayant des charges  $q_i$  et des masses  $m_i$  correspondent à différents types d'oscillateurs, de pulsations propres  $\omega_i$  et de facteurs de qualité  $Q_i$  et donc de déplacements  $\vec{r}_i$  vérifiant:

$$\vec{r}_i = \frac{\frac{q_i}{m_i \omega_{0i}^2}}{1 + \frac{j\omega}{Q_i \omega_{0i}} - \frac{\omega^2}{\omega_{0i}^2}} \vec{E} \quad (20)$$

Si on a  $a_i$  particules de même masses  $m_i$ , charge  $q_i$ ,  $\omega_{0i}$  et  $Q_i$  et si on a N particules élémentaires (atomes, ..., ions) par unité de volume, alors le vecteur polarisation du milieu s'écrit:

$$\vec{P} = N \left( \sum_i \frac{\frac{a_i q_i^2}{m_i \omega_{0i}^2}}{1 + \frac{j\omega}{Q_i \omega_{0i}} - \frac{\omega^2}{\omega_{0i}^2}} \right) \vec{E} \quad (21)$$

A chaque type d'oscillateur correspond une zone d'absorption. Entre ces zones, la dissipation d'énergie au sein du milieu est faible.

### 5.4 Ordres de grandeurs de quelques pulsations caractéristiques

- pour la polarisation électronique,  $\omega_{0e} \simeq 10^{14} - 10^{15}$  Hz se situe dans le visible et l'UV.
- Dans un cristal ionique, les pulsations propres associées aux mouvements des molécules ou des ions (beaucoup plus massifs que les ions) sont plus faibles, de l'ordre de  $10^{12}$  à  $10^{14}$  Hz et se situent dans l'IR. On parle de polarisation atomique ou ionique.

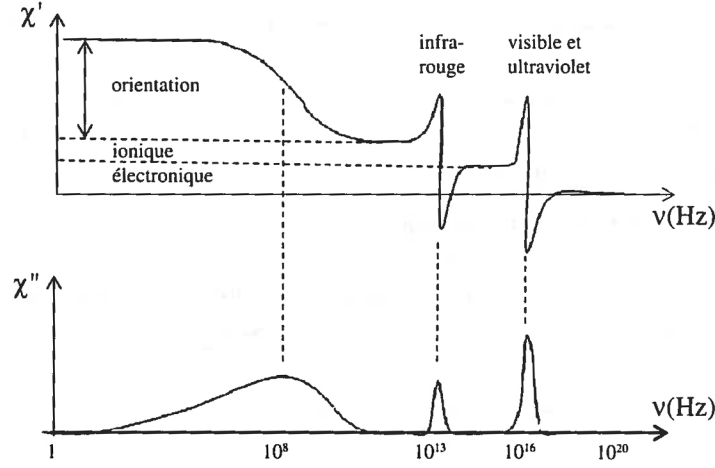


Figure 5.3 – Les différents types de susceptibilité électrique.

Figure 2: allure des graphes  $\chi_1(\omega)$  et  $\chi_2(\omega)$  pour une seule pulsation de chaque type

Dans l'IR lointain et le domaine hertzien, une molécule polaire peut osciller dans le champ de l'onde.

## 5.5 Indice de réfraction et d'extinction

Rappelons la relation de dispersion:  $k^2 = \epsilon_r \frac{\omega^2}{c^2}$  soit  $k = k_1 - jk_2 = \pm n \frac{\omega}{c}$ . L'indice  $n$  est complexe et fonction de  $\omega$  et vérifie  $n^2 = \epsilon_r$ . On pose:  $n = n_1 - jn_2 = (\epsilon_r)^{\frac{1}{2}}$  avec  $\epsilon_r = \epsilon_1 - j\epsilon_2$  ce qui conduit à deux équations:

$$n_1^2 - n_2^2 = \epsilon_1 \quad (22)$$

$$2n_1n_2 = \epsilon_2 \quad (23)$$

Le champ électrique transverse d'une OPPM se propageant selon Ox s'écrit:

$$\vec{E} = \vec{E}_0 e^{-k_2 x} e^{j(\omega t - k_1 x)} \quad (24)$$

avec  $k_1 = n_1 \frac{\omega}{c}$  et  $k_2 = n_2 \frac{\omega}{c}$ , deux réels positifs. En notations réelles ceci donne:

$$\vec{E} = \vec{E}_0 e^{-k_2 x} \cos(\omega t - k_1 x) \quad (25)$$

- l'indice  $n_1$  est l'indice de réfraction, utilisé en optique. La vitesse de phase est  $v_\phi = \frac{\omega}{k_1} = \frac{c}{n_1}$ , l'indice  $n_1$  caractérise la dispersion du milieu.
- l'indice  $n_2$  caractérise l'absorption de l'onde par le milieu: c'est l'indice d'extinction.

## 5.6 Zones de transparence

Dans une zone de transparence, la dispersion et l'absorption sont faibles. On a  $\epsilon_r = \epsilon_1 \gg \epsilon_2$ . L'indice du milieu vérifie  $n \simeq n_1 \gg n_2$  et il est réel. Dans le domaine de fréquences où l'indice est réel, l'OPPM se propage sans atténuation: le milieu est transparent à cette onde.



## 5.7 Zone d'absorption

Proche de la pulsation propre du milieu,  $n_2$  n'est plus négligeable. L'amplitude varie comme  $e^{-k_2 x} = e^{-n_2 \frac{\omega x}{c}}$ . Dans le domaine de fréquence où  $\epsilon_r = n^2$  est complexe, le milieu absorbe les ondes électromagnétiques qui le traversent.

## References

- [1] Brébec, J-Ph. *Electromagnétisme, Spéciales PC*, Hachette Sup, 1996